

## مطالعه عددی آبشستگی جت ریزشی آزاد\*

خسرو حسینی<sup>(۱)</sup> حامد نوحاسته<sup>(۲)</sup> حجت کرمی<sup>(۳)</sup> سید امین سلامتیان<sup>(۴)</sup>

**چکیده** بررسی پدیده آبشستگی پایین دست جت ریزشی پیچیده است و عوامل متعدد از جمله مشخصات جریان و رسوب و هم‌چنین هندسه مجرای عبور جریان بر آن تأثیرگذار است. در تحقیق حاضر، مدل‌سازی عددی آبشستگی ناشی از جت ریزشی از یک نمونه آزمایشگاهی، توسط نرم‌افزار SSIIM2 صورت گرفته است. مقدار زبری، مدل انتقال رسوب و مدل آشفتگی با استفاده از آزمون‌های ضریب تعیین و میانگین قدرمطلق خطا واسنجی گردیده است. نتایج مدل‌سازی عددی نشان داد که با افزایش عدد فرود جریان، عدد فرود مصالح و ارتفاع ریزش، عمق آبشستگی افزایش می‌یابد.

**واژه‌های کلیدی** آبشستگی، مدل عددی SSIIM، عدد فرود مصالح، جت ریزشی، ارتفاع ریزش.

## Free Impinging Jets Scouring, Using Numerical Model

K. Hosseini H. Nokhasteh H. Karami S. A. Salamatian

**Abstract** Investigation on local scour phenomenon downstream of impinging jets is very complicated. Different parameters such as geometry of stream, characteristics of flow and sediments have great influences on the scour phenomenon. The present study is preceded to numerical modeling of scouring by impinging jet via SSIIM 2 model founded on a physical model tests. The numerical model is calibrated for roughness coefficient, turbulence model and the bed load sediment transport function by using the coefficient of determination and the mean absolute error. Effects of Froude number, densimetric Froude number and drop height on scouring by impinging jet were investigated. The results indicate that the maximum scour depth increases by increasing Froude number; densimetric Froude number and drop height.

**Key Words** Scouring, Numerical Modeling SSIIM, Densimetric Froude Number, Impinging Jet, Drop Height.

★ تاریخ دریافت مقاله ۹۳/۴/۱ و تاریخ پذیرش آن ۹۴/۴/۱۰ می‌باشد.

(۱) استادیار، دانشکده مهندسی عمران، دانشگاه سمنان.

(۲) دانش‌آموخته مهندسی عمران - سازه‌های هیدرولیکی، دانشگاه سمنان.

(۳) نویسنده مسئول: استادیار، دانشکده مهندسی عمران، دانشگاه سمنان.

(۴) استادیار، گروه مهندسی عمران، مؤسسه غیرانتفاعی آل طه، تهران.

ارائه شده توسط محققان مختلف برای پیش بینی حداکثر عمق آبشستگی ناشی از جت ریزشی آزاد در جدول (۱) ارائه شده است.

جدول ۱ روابط ارائه شده توسط محققان

محقق	رابطه
Martins [4]	$y_s + y_t = 0.14N - 0.73 \frac{y_t^2}{N} + 1.7y_t$ $N = 7 \left( \frac{Q^3 H^{1.5}}{d_{50}^2} \right)^{0.5}$
Jaeger [5]	$y_s = 0.6q^{0.5} H^{0.25} \left( \frac{y_t}{d_{50}} \right)^{0.333}$
Ghodsian et al. [6]	$\frac{y_s}{y_t} = a \left( \frac{y_t}{H_c} \right)^b \left( Fr_{d50} \frac{R}{H_c} \right)^c$
محبوبی [۷]	$y_s = 0.526q^{0.65} 4H^{0.246} d_{50}^{-0.405}$

در این روابط  $y_s$  (m) عمق آبشستگی،  $Q$  ( $m^3/s$ ) دبی جریان،  $q$  ( $m^2/s$ ) دبی در واحد عرض،  $H$  (m) اختلاف ارتفاع عمق آب بالادست و پایین دست،  $R$  (m) شعاع هیدرولیکی جت،  $d_{50}$  (m) قطر متوسط ذرات بستر،  $v$  (m/s) سرعت جت خروجی،  $y_t$  (m) عمق پایاب،  $H_c$  (m) ارتفاع ریزش، که در آن  $Fr_{d50}$  عدد فرود مصالح و  $a, b, c$  ضرایب ثابت می باشند.

مرسیر و همکاران به بررسی عددی آبشستگی جت عمودی با استفاده از مدل ترکیبی اولری لاگرانژی و معادلات ناویر-استوکس آشفته و نرم افزار Ansys Fluent پرداختند، روش آنها هم بخش جامد و هم بخش مایع را در نظر گرفته بود که توسط رابط کاربر از یکدیگر جدا می شد. آنها عنوان کردند که مدل آشفتگی  $k-\epsilon$  برای مدل سازی تنش برشی و مدل  $k-\omega$  برای مدل سازی فشار بهترین نتیجه را می دهد [8]. ون یان و همکاران آبشستگی جت صفحه ای مستغرق را با استفاده از مدل های دوبعدی مدل سازی نمودند. در مطالعات آنها از مدل  $k-\epsilon$  برای آشفتگی استفاده شده است. آنها نیروی اصطکاک بین ذرات، نیروی نشت خلل و فرج و نیروی گرانش را نیروهای مقاوم در برابر حرکت و تنش برشی محلی جریان را عامل محرک در نظر گرفتند [9].

## مقدمه

جریان خروجی از مخزن سد دارای انرژی بسیار زیادی است. برخورد جت آب با بستر، آنرا دچار آبشستگی می نماید. با آگاهی از میزان تأثیر آبشستگی بر سازه ها و محل وقوع آن، می توان از وجود خرابی و مشکلات ناشی از آبشستگی جلوگیری نمود. یکی از سازه های تسکین جریان در پایاب سرریزها، حوضچه های استغراق می باشد. ابعاد حفرة آبشستگی ناشی از جت ریزشی تابع پارامترهای متعددی می باشد که اطلاع کامل از این عوامل و نحوه تأثیر آنها بر حفرة آبشستگی، به طراحان در جانمایی حوضچه کمک زیادی نماید.

## مواد و روش ها

استین و جولین در آزمایش های خود متوجه شدند که غلظت رسوب خروجی از حفرة آبشستگی به وسیله جت ریزشی وابسته به پتانسیل جداشدگی ذرات رسوب می باشد. در نزدیکی هسته، غلظت رسوب حداکثر است و با عمق کاهش می یابد و هم چنین غلظت رسوبات با زمان کاهش می یابد [1]. آبیلا و تاون سند نشان دادند که طول حفرة آبشستگی ( $L_s$ ) مانند عمق آبشستگی با افزایش عمق پایاب ( $y_t$ ) کاهش می یابد. زمانی که عمق نسبی پایاب کم باشد ( $y_t/H < 0.2$ ) طول حفرة آبشستگی ضرورتاً مستقل از عمق پایاب می باشد، افزایش عمق پایاب اثر زیادی روی طول حفرة آبشستگی دارد به طوری که هر قدر عمق پایاب بیشتر می شود طول آبشستگی کاهش می یابد [2]. وستریچ و کوباس نشان دادند که تأثیر ارتفاع ریزش بر آبشستگی بسیار متفاوت است. در ابتدای این پدیده، حجم آبشستگی با افزایش ارتفاع ریزش جت  $H$  افزایش می یابد. سپس با افزایش  $H$  حجم آبشستگی ثابت می ماند و بعد از آن، افزایش  $H$  اثر معکوس دارد به طوری که با افزایش  $H$  حجم آبشستگی کاهش می یابد [3]. یکی از پارامترهای مورد توجه محققان در بررسی پدیده آبشستگی، عمق حداکثر آبشستگی بوده است. تعدادی از روابط

که در آن  $\rho$  (kg/m<sup>3</sup>) چگالی سیال،  $P$  (pa) فشار کل،  $u_i$  (m/s) مؤلفه سرعت جریان در جهت محور  $i$ ،  $u_j$  (m/s) مؤلفه سرعت جریان در جهت محور  $j$  و  $\delta_{ij}$  دلتای کرونیکر می‌باشد.

در رابطه (۲) عبارت اول سمت چپ ترم گذار (تغییرات زمانی) و عبارت بعدی ترم شتاب جابه‌جایی می‌باشد. اولین عبارت سمت راست در این رابطه، ترم فشار و بعدی ترم مربوط به تنش رینولدز است. برای ارزیابی عبارت اخیر به یک مدل آشفتگی نیاز می‌باشد.

### مدل آشفتگی k-ε

در نرم‌افزار SSIM2 مدل k-ε مدل پیش‌فرض برای آشفتگی می‌باشد که به صورت رابطه (۳) توسعه یافته است.

$$\frac{\partial k}{\partial t} + u_i \frac{\partial k}{\partial x_j} = \frac{\partial}{\partial x_j} \left( \frac{v_T}{\sigma_k} \frac{\partial k}{\partial x_j} \right) + p_k - \epsilon \quad (3)$$

که در آن ضریب  $\sigma_k$  برابر با ۱ و  $v_T$  لزجت گردابه‌ای است که توسط رابطه (۴) محاسبه می‌گردد. مقدار  $P_k$  را می‌توان از رابطه (۵) به دست آورد.

$$v_T = C_\mu \frac{K}{\epsilon^2} \quad (4)$$

$$P_k = v_T \left( \frac{\partial u_j}{\partial x_i} \frac{\partial u_i}{\partial x_j} + \frac{\partial u_i}{\partial x_i} \right) \quad (5)$$

در رابطه (۴)،  $k$  انرژی جنبشی آشفته و  $\epsilon$  بیانگر میزان اتلاف انرژی جنبشی است که از رابطه (۶) تعیین می‌شود. ضریب  $C_\mu$  برابر ۰/۰۹ می‌باشد.

$$\frac{\partial \epsilon}{\partial t} + u_i \frac{\partial \epsilon}{\partial x_j} = \frac{\partial}{\partial x_j} \left( \frac{v_T}{\sigma_k} \frac{\partial \epsilon}{\partial x_j} \right) + C_{\epsilon 1} \frac{\epsilon}{k} P_k + C_{\epsilon 2} \frac{\epsilon^2}{k} \quad (6)$$

ضرایب  $C_{\epsilon 1}$  و  $C_{\epsilon 2}$  به ترتیب برابر با ۱/۴۴ و ۱/۹۲ می‌باشند.

### معادلات انتقال رسوب

انتقال رسوب به دو صورت بار بستر و بار معلق انجام می‌شود. بار معلق را می‌توان به کمک معادلات پخش-انتقال با محاسبه غلظت رسوب باتوجه به رابطه (۷)

نظر به این که اکثر مطالعات ارائه شده مبتنی بر داده‌های تجربی و آزمایشگاهی است، در این تحقیق سعی شده است تا با استفاده از نرم‌افزار SSIM شرایط آزمایشگاهی آب‌شستگی جت ریزشی شبیه‌سازی گردد. در این راستا واسنجی ضریب زبری، مدل آشفتگی و معادله انتقال بار بستر مورد بررسی قرار گرفته است. پس از واسنجی مدل عددی، تغییر شرایط جریان و مشخصات رسوب با ارزیابی پارامترهای ارتفاع ریزش، عدد فرود جریان و عدد فرود مصالح مطالعه گردید. با استفاده از نتایج این تحقیق می‌توان به ارزیابی جانمایی سازه‌ها و تمهیدات لازم برای مقابله با آب‌شستگی ناشی از جت ریزشی پرداخت.

### معرفی مدل عددی SSIM

مدل SSIM یک مدل سه‌بعدی هیدرودینامیکی و انتقال رسوب بر مبنای روش حجم محدود است که در دو نسخه توسط السن در سال ۱۹۹۴ معرفی شد. برای مدل کردن جریان در هندسه‌های پیچیده در SSIM1 از شبکه‌های ساختاریافته و در SSIM2 از شبکه‌های بدون ساختار استفاده شده است. در شبکه‌های ساختار یافته سه‌بعدی هر سلول در شبکه سه شاخص  $(z, y, x)$  دارد که مشخص کردن موقعیت شبکه را آسان می‌کند. در فایل اطلاعات ورودی موقعیت و سطوح دبی ورودی و خروجی دیواره‌ها مشخص می‌گردد. در شبکه‌های بدون ساختار هر سلول یک شاخص دارد که به طور تصادفی ساخته می‌شود [10].

### معادلات جریان

در نرم‌افزار SSIM معادلات حاکم بر میدان جریان معادلات پیوستگی (معادله ۱) و ناویر-استوکس (معادله ۲) می‌باشند.

$$\frac{\partial u_i}{\partial x_j} = 0 \quad (1)$$

$$\frac{\partial u_i}{\partial t} + U_j \frac{\partial u_i}{\partial x_j} = \frac{1}{\rho} \frac{\partial}{\partial x_j} (-P \delta_{ij} - \overline{\rho u_i u_j}) \quad (2)$$

### مدل آزمایشگاهی سلامتیان

مدل فیزیکی در آزمایشگاه هیدرولیک دانشگاه تربیت مدرس و در یک فلوم به طول ۱۳ متر، طول مفید ۱۰ متر، عرض ۰/۶ متر و ارتفاع ۰/۹ متر انجام شده است. شکل (۱) نمای کلی فلوم را از بالا به صورت شماتیک نشان می‌دهد. آزمایش انجام شده در دبی (Q) ۱۰/۱۱ لیتر بر ثانیه و ارتفاع ریزش (H<sub>c</sub>) برابر ۰/۶۵ صورت گرفته است. رسوبات به‌کار رفته در آزمایش، از جنس سیلیس دانه‌بندی شده، یکنواخت و با چگالی مخصوص ۲/۶۳ می‌باشد. هم‌چنین d<sub>50</sub> به‌عنوان قطر مشخصه ذرات و برابر ۱/۲۲ میلی‌متر در نظر گرفته شده است. لازم به ذکر است که عمق پایاب در کلیه آزمایش‌ها ثابت و برابر با ۰/۳ متر در نظر گرفته شده است [۱۱].

### مشخصات میدان حل

شبکه‌بندی مدل به‌صورتی است که مخزن رسوب در طول دارای شبکه به نسبت  $x/y=0.219$  (شکل ۲-الف) و در عمق برای ارتفاع ریزش ۰/۶۵ متر دارای نسبت  $x/z=0.323$  (شکل ۲-ب) می‌باشد. بنابراین این مدلی با تعداد سلول  $190 \times 25 \times 16$  (i=191, j=26, k=17) ایجاد گردیده است.

تعیین نمود.

$$\frac{\partial c}{\partial t} + u_i \frac{\partial c}{\partial x_j} + w \frac{\partial c}{\partial z} = \frac{\partial}{\partial x_j} \left( \Gamma_T \frac{\partial c}{\partial x_j} \right) \quad (7)$$

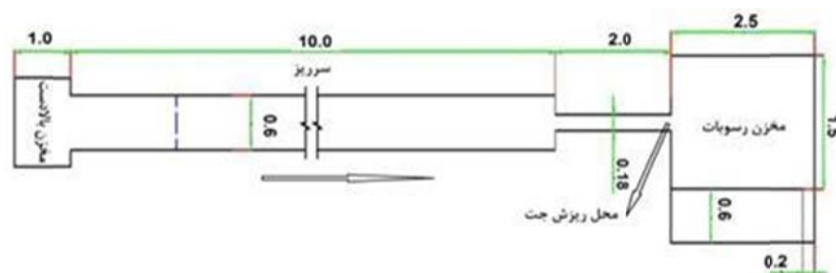
w سرعت سقوط ذرات و  $\Gamma_T$  ضریب پخش می‌باشد که توسط رابطه (۸) محاسبه می‌شود:

$$\Gamma_T = \frac{v_T}{Sc} \quad (8)$$

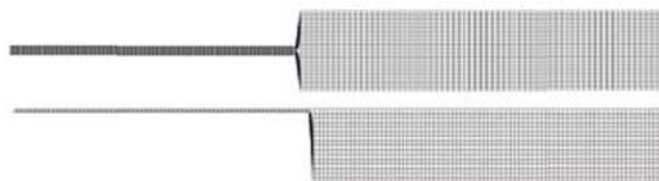
Sc عدد اشمیت است و به صورت پیش‌فرض برابر با یک در نظر گرفته می‌شود.  $v_T$  نیز لزجت گردابه‌ای جریان است. در مدل عددی SSIIM برای بار بستر، روابط انگلوند-هانسن، انیشتن، وو، ایکرز-وایت و فن راین تعریف شده‌اند.

### واسنجی مدل عددی

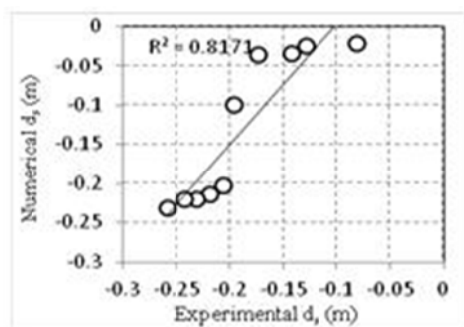
در این بخش واسنجی مدل عددی SSIIM در خصوص انتخاب زبری، تعداد سلول‌ها، مدل آشفتگی و معادله انتقال رسوب بار بستر با ارزیابی حداکثر عمق حفره آب‌شستگی ناشی از جت ریزشی توسط مدل عددی و مقایسه با نتایج آزمایشگاهی سلامتیان [۱۱] و جنیان [۱۲] بررسی گردیده است.



شکل ۱ فلوم به‌کار رفته در آزمایشگاه (نمایی از بالا) [۱۱]



شکل ۲ مش به‌کار رفته در شبکه  $190 \times 25 \times 16$



(ب)

شکل ۳ آزمون  $R^2$  برای زبری بستر به ترتیب  $d_{90}$  و  $d_{50}$

جدول ۲ نتایج آزمون  $R^2$  و MAE

آزمون MAE	آزمون $R^2$	مدل آشفستگی	معادله انتقال رسوب بستر
۰/۰۸۹	۰/۸۸۶	k-ε	van Rijn [13]
۰/۰۸۸	۰/۹۰۹	Local k-ε	
۰/۰۳۹	۰/۹۶۴	k-ε	Engelund/Hansen [14]
۰/۰۳	۰/۹۴۶	Local k-ε	
۰/۰۹۳	۰/۹	k-ε	Einstein [15]
۰/۰۳۱	۰/۹۱	Local k-ε	
۰/۰۵۶	۰/۹۳۸	k-ε	Wu [16]
۰/۰۴۵	۰/۹۵۸	Local k-ε	

لازم به ذکر است که مدل فن راین برای جریان‌هایی با سرعت کم و عمق زیاد و مدل وو برای محاسبه انتقال رسوب در خم‌ها نتایج بهتری می‌دهد. همچنین مدل آشفستگی Local k-ε به دلیل صفر کردن مؤلفه  $\epsilon$  در معادلات پنج‌گانه باعث افزایش سرعت و در نتیجه افزایش انرژی جنبشی و نهایتاً افزایش آب‌شستگی می‌شود.

### حساسیت نسبت به مش

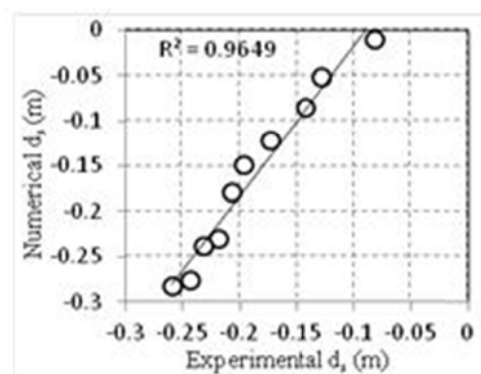
در این بخش به بررسی تأثیر ابعاد شبکه، بر تخمین عمق حفرة آب‌شستگی ناشی از جت ریزشی در مصالحی با قطر مشخصه ( $d_{50}$ ) مختلف توسط مدل SSIIM پرداخته شده است. به منظور صحت‌سنجی

### واسنجی زبری

با توجه به تمام موارد پیشنهادی محققان در خصوص انتخاب ارتفاع زبری‌ها برابر قطر شاخص رسوبات بستر، مقادیر  $d_{90}$  و  $d_{50}$  به‌عنوان قطرهای شاخص زبری مورد بررسی قرار گرفتند. در این مطالعات عمق بیشینه فرسایش برای مقادیر مختلف قطر شاخص رسوب توسط نرم‌افزار تعیین شد و با نتایج آزمایشگاهی مقایسه گردید. این مقایسه در شکل (۳) آورده شده است. ضریب همبستگی و نزدیکتر بودن نتایج عددی و آزمایشگاهی به‌دست آمده برای  $d_{50}$  نسبت به  $d_{90}$ ، در شکل نشان می‌دهد که  $d_{50}$  به‌عنوان قطر شاخص رسوبات می‌تواند استفاده گردد.

### واسنجی مدل آشفستگی و انتقال رسوب

به‌منظور واسنجی مدل آشفستگی و معادلات انتقال رسوب، عمق بیشینه آب‌شستگی در کلیه شرایط آزمایش‌شده بررسی و با نتایج آزمایشگاهی مقایسه گردیدند. مقادیر ضریب تعیین ( $R^2$ ) و متوسط باقی‌مانده مطلق به‌دست آمده و در جدول (۲) مقایسه شده‌اند. نتایج بررسی‌ها نشان می‌دهد که مدل آشفستگی k-ε به همراه معادله انتقال رسوب انگولند-هانسن بهترین هم‌خوانی را با نتایج آزمایشگاهی دارد و توانسته است آب‌شستگی پایین‌دست جت ریزشی را به‌خوبی پیش‌بینی کند.



(الف)

هم‌چنین در شبکه‌های مدل‌سازی شده، ابعاد مش در عمق ( $x/z$ ) دارای نسبت‌های ۰.۳۷۷، ۰.۷۵۵ و ۱.۵۱۱ می‌باشد. بنابراین تعداد سلول‌ها در این مدل‌سازی به ترتیب زیر می‌باشد.

$$600 \times 4 \times 34 \quad (i=601, j=5, k=35)$$

$$300 \times 4 \times 34 \quad (i=301, j=5, k=35)$$

$$150 \times 4 \times 34 \quad (i=151, j=5, k=35)$$

همان‌طور که در جداول (۳) تا (۵) مشاهده

می‌شود طبق آزمون‌های  $R^2$  و MAE شبکه  $301 \times 5 \times 35$  توانسته است عمق حفره آب‌شستگی و هم‌چنین ارتفاع پشته‌های رسوبی را دقیق‌تر نسبت به شبکه  $151 \times 5 \times 35$  پیش‌بینی نماید. البته شبکه با تعداد سلول  $601 \times 5 \times 35$  نتایج دقیق‌تری نسبت به دو شبکه دیگر داده است. لیکن اختلاف معنی‌داری بین نتایج به‌دست آمده از این شبکه و شبکه درشت‌تر با تعداد سلول  $301 \times 5 \times 35$  وجود ندارد. از طرف دیگر، برای تحلیل‌های جریان و رسوب در شبکه با ابعاد ریز زمان محاسباتی بیشتری لازم است لذا شبکه با تعداد سلول  $301 \times 5 \times 35$  مناسب برای مدل‌سازی عددی انتخاب گردید.

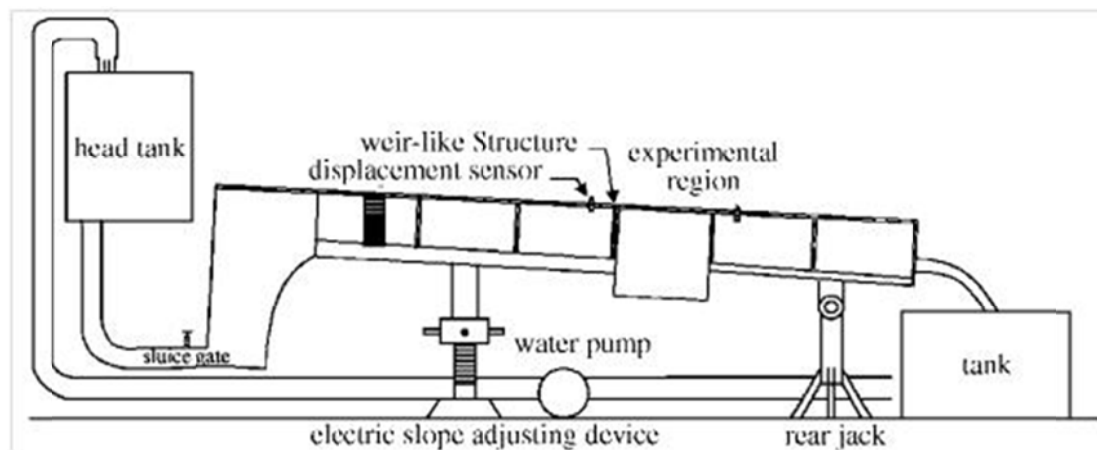
مدل، نتایج حاصل از مدل عددی با نتایج آزمایشگاهی چن مقایسه گردیده است [12].

فلوم استفاده‌شده توسط چن دارای طول ۱۱/۵ متر، ارتفاع ۰/۶ متر، عرض ۰/۳ متر می‌باشد. رسوبات در طولی برابر با ۱/۸ متر و عرض ۰/۳ متر در بستر فلوم قرار گرفته‌اند. مشخصات هیدرولیکی مدل آزمایشگاهی و خصوصیات رسوبات به‌کار گرفته‌شده برای بار بستر به شرح زیر می‌باشد.

دبی ( $Q$ ) برابر  $4/04$  لیتر بر ثانیه، ارتفاع ریزش ( $H_c$ ) برابر  $0/185$  متر می‌باشد. رسوبات به‌کار رفته در آزمایش از جنس ماسه دانه‌بندی شده، یکنواخت و با چگالی مخصوص  $2/63$  می‌باشد. هم‌چنین  $d_{50}$  به‌عنوان قطر مشخصه ذرات، و رسوباتی با اقطاری برابر با  $6/73$ ،  $11$ ،  $15/58$ ،  $22/03$  میلی‌متر در آزمایش استفاده شده است. عمق پایاب در تمام آزمایش‌ها ثابت و برابر با  $0/037$  متر در نظر گرفته شده است [12].

### مشخصات میدان حل

در مدل‌سازی عددی از سه شبکه با ابعاد مختلف استفاده شده است. نسبت ابعاد مش در پلان ( $x/y$ ) به ترتیب  $0.044$  و  $0.088$  و  $0.177$  انتخاب گردیدند.



شکل ۴ شکل شماتیک فلوم به‌کار رفته در آزمایش [12]

جدول ۳ نتایج آزمون  $R^2$  و MAE در مدل آزمایشگاهی و مدل عددی با شبکه  $601 \times 5 \times 35$ 

نتایج آزمون MAE	نتایج آزمون $R^2$	حداکثر عمق آب‌شستگی (m) در مدل عددی با شبکه $601 \times 5 \times 35$ سلولی	حداکثر عمق آب‌شستگی در مدل آزمایشگاهی (m)	قطر مشخصه ذرات (mm)
۰/۰۱۱	۰/۹۶۱	۰/۰۷۱۱۰	۰/۰۸	$d_{50}=6.73$
۰/۰۰۳	۰/۹۹۳	۰/۰۵۷۶۵	۰/۰۶	$d_{50}=11$
۰/۰۱۲	۰/۹۵۱	۰/۰۴۱۱۱	۰/۰۴۵	$d_{50}=15.58$
۰/۰۰۲	۰/۹۸۸	۰/۰۲۵۷	۰/۰۲۸	$d_{50}=22.03$

جدول ۴ نتایج آزمون  $R^2$  و MAE در مدل آزمایشگاهی و مدل عددی با شبکه  $301 \times 5 \times 35$ 

نتایج آزمون MAE	نتایج آزمون $R^2$	حداکثر عمق آب‌شستگی (m) در مدل عددی با شبکه $301 \times 5 \times 35$ سلولی	حداکثر عمق آب‌شستگی در مدل آزمایشگاهی (m)	قطر مشخصه ذرات (mm)
۰/۰۱۳	۰/۹۵۲	۰/۰۷۲۰۸	۰/۰۸	$d_{50}=6.73$
۰/۰۰۳	۰/۹۹۰	۰/۰۵۳۵۶	۰/۰۶	$d_{50}=11$
۰/۰۱۳	۰/۹۳۴	۰/۰۳۹۰۹	۰/۰۴۵	$d_{50}=15.58$
۰/۰۰۲	۰/۹۸۲	۰/۰۲۴۳۶	۰/۰۲۸	$d_{50}=22.03$

جدول ۵ نتایج آزمون  $R_2$  و MAE در مدل آزمایشگاهی و مدل عددی با شبکه  $151 \times 5 \times 35$ 

نتایج آزمون MAE	نتایج آزمون $R^2$	حداکثر عمق آب‌شستگی (m) در مدل عددی با شبکه $151 \times 5 \times 35$ سلولی	حداکثر عمق آب‌شستگی در مدل آزمایشگاهی (m)	قطر مشخصه ذرات (mm)
۰/۰۲۲	۰/۸۵	۰/۰۶۸۹۱	۰/۰۸	$d_{50}=6.73$
۰/۰۱۱	۰/۹۵۲	۰/۰۴۵۰۲	۰/۰۶	$d_{50}=11$
۰/۰۱۴	۰/۸۷۱	۰/۰۳۳۳۱	۰/۰۴۵	$d_{50}=15.58$
۰/۰۰۸	۰/۹۱۷	۰/۰۱۴۸۱	۰/۰۲۸	$d_{50}=22.03$

### مدل‌سازی عددی و تحلیل نتایج

پس از واسنجی مدل عددی و انتخاب ابعاد مناسب شبکه در مدل عددی، شبیه‌سازی جریان و رسوب توسط مدل عددی صورت گرفته و پس از تعیین اثر پارامترهایی نظیر ارتفاع ریزش، عدد فرود مصالح، و قطر مشخصه ذرات بر حداکثر عمق آب‌شستگی ناشی از جت ریزشی، به تحلیل نتایج آنها پرداخته شده است. در ادامه سعی شده است پارامترهای تأثیرگذار به صورت بدون بعد درآورده شود تا بتوان نتایج کلی‌تری از بررسی‌های صورت گرفته به دست آورد.

### مشخصات مدل آزمایشگاهی

مطالعه چن مبنای مدل‌سازی تحقیق حاضر می‌باشد

[12]. در تحقیق حاضر با تغییر شرایط دبی، قطر ذرات بستر و ارتفاع ریزش نتایج مدل آزمایشگاهی ایشان توسعه داده شده و اطلاعات جامع‌تری نسبت به آب‌شستگی ناشی از جت ریزشی استخراج گردیده است [12].

### مشخصات میدان حل

در مدل‌سازی عددی، محدوده شبیه‌سازی شده از علوم آزمایشگاهی چن دارای طول ۲ متر و عرض ۰/۳ متر می‌باشد. مدل‌سازی جریان و رسوب برای شرایط زیر صورت گرفته است:

ارتفاع ریزش آب ۰/۲۲، ۰/۲۷ و ۰/۳۷ متر برای دبی‌های ۳/۳ و ۵/۷ و ۶/۹ لیتر بر ثانیه، عمق جریان در

محدوده عدد فرود جریان بین ۰/۴۳۹ تا ۰/۹۱۸ می‌باشد. بنابراین محدوده پارامترهای مؤثر به گونه‌ای انتخاب شده که حتی‌الامکان دربرگیرنده شرایط مختلف جریان و رسوب باشد. در این تحقیق با در نظر گرفتن تغییر شرایط جریان و رسوب، در مجموع تعداد ۳۶ بار مدل‌سازی عددی برای مطالعه بر روی آب‌شستگی جت ریزشی انجام شده است.

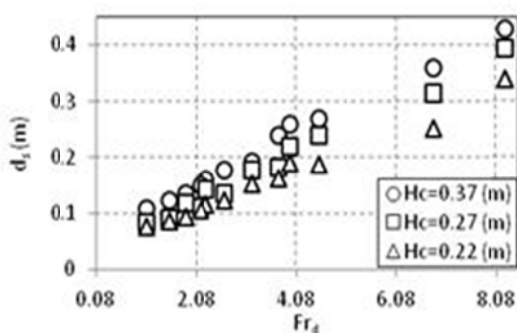
### تأثیر عدد فرود مصالح بر آب‌شستگی پایین دست جت ریزشی

قطر ذرات رسوب بدون شک تأثیر زیادی بر ابعاد حفرة آب‌شستگی دارد. درحقیقت عمق آب‌شستگی با تغییر اندازه مصالح بستر، به علت تغییر تنش برشی مقاوم در برابر حرکت، برای ذرات بستر تغییر می‌کند. با تغییر قطر ذرات عدد فرود مصالح ( $Fr_d$ ) (معادله ۱۱) نیز تغییر می‌نماید.

$$Fr_d = \frac{v}{\sqrt{gd_{50}(s-1)}} \quad (11)$$

که در آن  $v$  سرعت جت،  $d_{50}$  قطر مشخصه،  $s$  چگالی نسبی مصالح می‌باشد.

شکل (۶) عمق آب‌شستگی تابع عدد فرود مصالح نشان داده شده است.



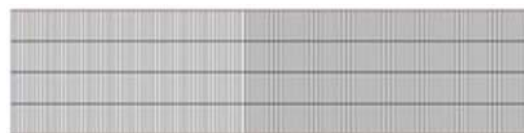
شکل ۶ تأثیر عدد فرود مصالح بر عمق آب‌شستگی در ارتفاع ریزش متفاوت

همان‌طور که در این شکل مشاهده می‌شود با افزایش عدد فرود مصالح، عمق آب‌شستگی افزایش

بالادست برابر  $y=0.04$  متر، عمق پایاب برابر  $y=0.15$  متر و قطر مشخصه ذرات ( $d_{50}$ ) برابر با ۰/۳، ۱، ۲ و ۴ میلی‌متر در مدل‌سازی عددی انتخاب گردیدند.

شبکه انتخاب‌شده دارای نسبت  $x/y=0.088$  در طول و برای ارتفاع  $H=0.37, 0.27, 0.22$  به ترتیب دارای نسبت مش‌بندی  $x/z=1.367, 1.227, 1.067$  در عمق می‌باشد. شکل (۵) محدوده مدل‌شده و ابعاد شبکه را نشان می‌دهد.

به دلیل پیچیدگی پدیده آب‌شستگی و دخیل بودن پارامترهای متعدد در آن، در تحقیق حاضر سعی شده است با بررسی مهم‌ترین پارامترهای مؤثر در آب‌شستگی جت ریزشی شناختی جامع از این پدیده حاصل گردد.



(الف)



(ب)

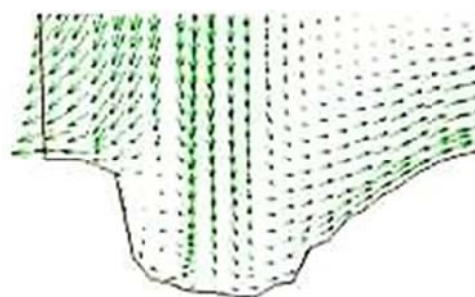
شکل ۵ شبکه به‌کار رفته در مدل‌سازی عددی برای عمق  $H=0.37$  در افق، (ب) در مقطع

عدد فرود مصالح به دلیل در نظر گرفتن تأثیر توأمان مشخصه‌های رسوب و شرایط جریان، از مهم‌ترین پارامترهای مؤثر در آب‌شستگی جت ریزشی می‌باشد. محدوده عدد فرود مصالح در تحقیق حاضر بین ۱/۰۸ تا ۸/۲۵ می‌باشد. عدد فرود جریان در بالادست جت ریزشی نیز به دلیل تأثیر در انرژی جت و قابلیت حمل مواد رسوبی یکی دیگر از پارامترهایی است که در تحقیق حاضر از آن استفاده شده است.



می‌یابد. این روند افزایش در هر سه ارتفاع ریزش آب اتفاق می‌افتد. طبق معادله (۱۱) عدد فرود مصالح با  $d_{50}$  رابطه عکس و با سرعت جریان رابطه مستقیم دارد. بنابراین با کاهش ابعاد مصالح بستر و افزایش دبی جریان، عمق آب‌شستگی افزایش می‌یابد. الگوی آب‌شستگی در چاله فرسایشی ایجاد شده تابع الگوی سرعت جریان و هم‌چنین آشفستگی جریان می‌باشد. در شکل (۷) الگوی جریان توسط بردارهای سرعت که اندازه این بردارها معرف مقدار سرعت جریان در هر نقطه می‌باشد، نشان داده شده است.

مستقیماً با سرعت و دبی جریان در ارتباط است. با افزایش عدد فرود جریان، سرعت و پتانسیل فرسایشی جت افزایش می‌یابد و در نتیجه حداکثر عمق حفرة آب‌شستگی افزایش می‌یابد. اثر این پارامتر بر آب‌شستگی در شکل (۸) نشان داده شده است. همان‌طور که مشاهده می‌شود با افزایش عدد فرود مقدار حداکثر عمق آب‌شستگی نیز افزایش می‌یابد و این روند در هر سه دبی اتفاق می‌افتد. هم‌چنین در یک ارتفاع ریزش ثابت با افزایش عدد فرود حداکثر عمق آب‌شستگی نیز افزایش می‌یابد زیرا با افزایش عدد فرود جریان، سرعت جریان افزایش می‌یابد و در نتیجه نیروهای اعمال شده توسط جریان بر بستر و عمق آب‌شستگی افزایش می‌یابد. عمق آب‌شستگی را می‌توان وابسته به توان فرسایش‌پذیری جریان نیز مرتبط نمود. با افزایش عدد فرود جریان، توان فرسایش‌پذیری جریان افزایش می‌یابد، قدرت حمل و جابه‌جایی مصالح افزایش پیدا می‌کند و در نتیجه، به عمق آب‌شستگی افزوده می‌شود. نتایج مدل‌سازی نشان می‌دهد که با افزایش ۵۲٪ عدد فرود جریان حداکثر عمق آب‌شستگی ۴۴٪ می‌یابد.



شکل ۷ نمایی از بردارهای سرعت درون حفرة آب‌شستگی

همان‌طور که در شکل (۷) مشاهده می‌شود شکل‌گیری حفرة آب‌شستگی از محل برخورد جت به بستر که دارای بیشترین سرعت می‌باشد شروع می‌گردد. با ایجاد حفرة و حرکت جت به درون آن، جریان‌های چرخشی شکل می‌گیرد و موجب خارج شدن ذرات ریزدانه از درون حفرة می‌شود و در نتیجه حفرة به اطراف گسترش می‌یابد تا به یک وضعیت باثبات برسد. این ذرات در دهانه خارجی حفرة جایی که از پتانسیل‌های سرعت و اغتشاش جریان کاسته می‌شود، رسوب می‌کنند.

### تأثیر عدد فرود جریان بر آب‌شستگی

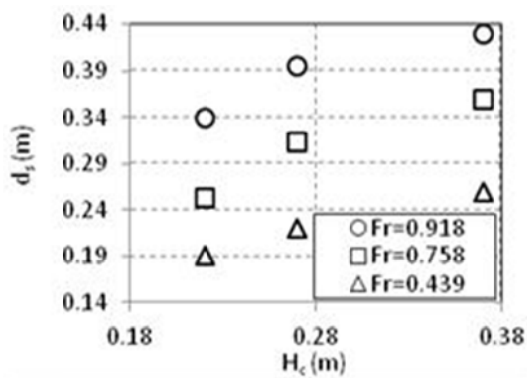
#### پایین دست جت

عدد فرود جریان یکی از مهم‌ترین عوامل مؤثر در پدیده آب‌شستگی پایین دست جت‌های ریزشی می‌باشد زیرا

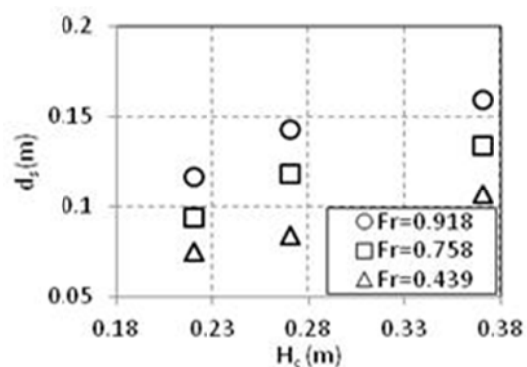
### تأثیر ارتفاع ریزش بر آب‌شستگی پایین دست

#### جت ریزشی

تأثیر ارتفاع ریزش بر میزان آب‌شستگی کمی پیچیده می‌باشد زیرا از یک سو با افزایش ارتفاع ریزش جت تا سطح پایاب، سرعت جت افزایش می‌یابد از سویی دیگر به علت اغتشاش داخلی، ورود هوا به داخل جت ریزشی افزایش می‌یابد و نیروی کشش سطحی کاهش می‌پذیرد و در نهایت جت آب و مخلوط هوا انرژی اولیه خود را از دست می‌دهد تا منجر به کاهش آب‌شستگی گردد. در بررسی‌های صورت گرفته در محدوده تغییرات ارتفاع ریزش تعیین شده، ورود هوا به جریان صورت نگرفته است و اثرات کاهندگی در



(الف)



(ب)

شکل ۹ تأثیر ارتفاع ریزش بر حداکثر عمق آب‌شستگی در اعداد فرود متفاوت به ترتیب  $d_{50}=0.004$  mm,  $d_{50}=0.0003$  mm

### شناسایی پارامترهای مؤثر در آب‌شستگی

#### جت ریزشی

به منظور بررسی دقیقتر عوامل تأثیرگذار بر آب‌شستگی و تعیین حداکثر عمق آب‌شستگی، تجزیه و تحلیل ابعادی صورت گرفته است. به صورت کلی ۹ عامل تأثیرگذار شناسایی گردیده‌اند که در رابطه (۱۲) این عوامل نشان داده شده‌اند.

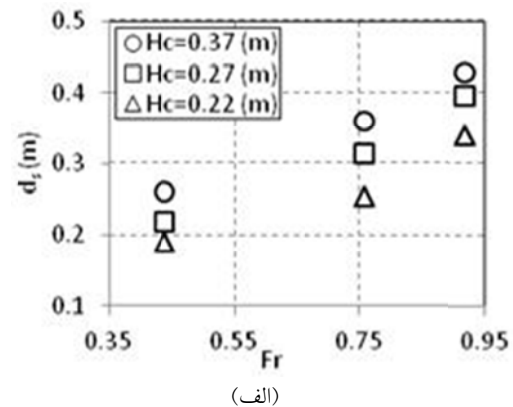
$$d_s = f_1(U, y, y_t, \rho, \rho_s, g, \nu, d_{50}, H_c) \quad (12)$$

که در آن  $d_s$  حداکثر عمق آب‌شستگی،  $U$

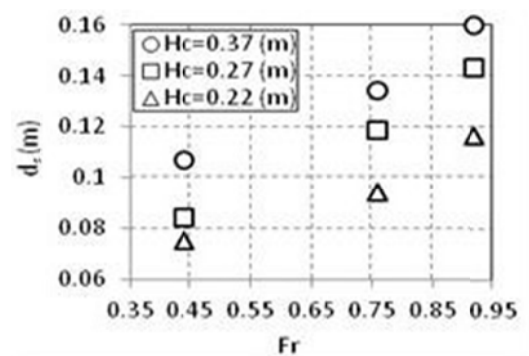
سرعت جریان،  $y$  عمق جریان در بالادست،  $\rho$  چگالی آب،  $\rho_s$  چگالی رسوب،  $g$  شتاب ثقل،  $\nu$  لزجت آب،  $d_{50}$  قطر مشخصه ذرات،  $y_t$  عمق پایاب و  $H_c$  ارتفاع ریزش می‌باشد. با ترکیب پارامترهای  $\rho$ ،  $\rho_s$  و  $g$  عبارت

فرسایش مشاهده نگردید. عمق آب‌شستگی برای ارتفاع‌های مختلف ریزش برای دو قطر متفاوت رسوبات بستر در شکل (۹) نشان داده شده‌اند.

همان‌طور که در شکل (۹) مشاهده می‌شود، با افزایش ارتفاع ریزش، مقدار حداکثر عمق آب‌شستگی نیز افزایش می‌یابد. که این روند برای هر سه مقدار عدد فرود جریان و دو مقدار قطر مشخصه ذرات اتفاق می‌افتد. با افزایش ارتفاع ریزش، سرعت اولیه برخورد جت به سطح آب افزایش می‌یابد و در نتیجه عمق نفوذ جت به درون آب بیشتر می‌شود و جت نیروی بیشتری به بستر وارد می‌کند و در نتیجه حداکثر عمق آب‌شستگی افزایش می‌یابد. نتایج مدل‌سازی نشان داد که با افزایش ۴۰٪ ارتفاع ریزش، حداکثر عمق آب‌شستگی ۲۱٪ افزایش می‌یابد.



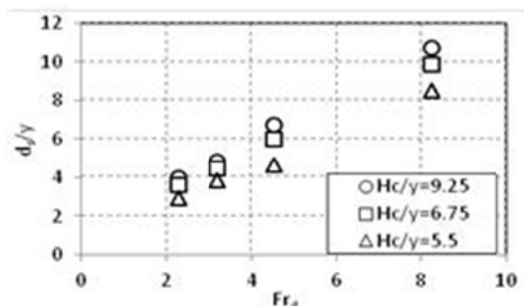
(الف)



(ب)

شکل ۸ تأثیر عدد فرود جریان بر حداکثر عمق آب‌شستگی در ارتفاع ریزش‌های متفاوت به ترتیب  $d_{50}=0.0003$  mm,  $d_{50}=0.004$  mm,

همچنین کاهش اندازه مصالح و در نتیجه کاهش نیروی مقاوم در برابر حرکت مرتبط دانست.

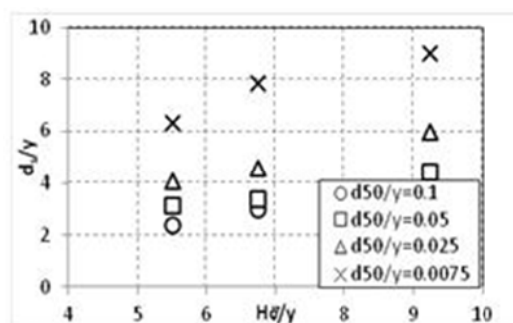


شکل ۱۰ تأثیر عدد فرود مصالح بستر و ارتفاع نسبی ریزش بر عمق آب‌شستگی نسبی برای مقدار ثابت  $Fr=0.918$

همچنین در یک عدد فرود مصالح ثابت با افزایش نسبت ارتفاع ریزش نسبت عمق آب‌شستگی افزایش می‌یابد که این روند در اعداد فرود بالا تأثیرگذاری بیشتری دارد. با ثابت نگه داشتن پارامترهای دیگر تغییرات عدد فرود مصالح در برابر نسبت عمق آب‌شستگی به صورت خطی تغییر می‌کند. نتایج مدل‌سازی نشان داد که با افزایش ۸۷٪ عدد فرود مصالح، حداکثر عمق آب‌شستگی ۸۳٪ افزایش می‌یابد.

### تأثیر پارامتر بی بعد نسبت ارتفاع ریزش بر نسبت عمق آب‌شستگی

عمق آب‌شستگی نسبی تابع ارتفاع ریزش نسبی در شکل (۱۱) نشان داده شده است.



شکل ۱۱ تأثیر ارتفاع نسبی ریزش و قطر نسبی مصالح بر عمق آب‌شستگی نسبی برای مقدار ثابت  $Fr=0.758$

$\Delta g$  به دست می‌آید که در آن  $\Delta = s-1$  که  $s$  چگالی نسبی می‌باشد. بنابراین به جای ۳ پارامتر  $\rho, \rho_s, g$  می‌توان از پارامتر  $\Delta g$  در تجزیه و تحلیل ابعادی استفاده نمود. بنابراین تعداد پارامترهای مؤثر در آب‌شستگی از ۹ به ۶ کاهش می‌یابد و در نتیجه با داشتن ۱۰ عامل و تعداد سه بعد اصلی (طول، زمان و جرم) می‌توان ۷ عدد بدون بعد به صورت رابطه (۱۳) تعریف نمود.

$$\tilde{d}_s = f_1(Fr_d, \tilde{d}, \tilde{H}, Fr, Re, \tilde{y}_t) \quad (13)$$

کـــــــــــــــــه در آن  $\tilde{d} = \frac{d_{50}}{y}$ ،  $\tilde{d}_s = \frac{d_s}{y}$ ،  $\tilde{y}_t = \frac{y_t}{y}$

$$Fr_d = \frac{U}{\sqrt{\Delta g d_{50}}} \quad \text{و} \quad \tilde{H} = \frac{H_c}{y}$$

می‌باشند.

با توجه به آشفتگی جریان در مجاورت بستر و بالا بودن عدد رینولدز در کلیه حالات جریان، تنش‌های ویسکوز در جریان ناچیز است و عملاً تأثیر ویسکوزیته بر حرکت سیال ناچیز می‌باشد. همچنین با ثابت بودن عمق پایاب و سراب برای یک دبی مشخص جریان، عملاً نسبت  $y/y_t$  از معادله بالا حذف می‌گردد. در ادامه پارامتر بدون بعد آب‌شستگی نسبت به دیگر پارامترها مورد ارزیابی قرار می‌گیرد.

### تأثیر پارامتر بی بعد عدد فرود مصالح بر نسبت عمق آب‌شستگی

عمق آب‌شستگی. در شکل (۱۰) تأثیر پارامتر بدون بعد عدد فرود مصالح بر نسبت آب‌شستگی بدون بعد بررسی می‌گردد. همان طوری که مشاهده می‌شود، با افزایش عدد فرود مصالح برای مقادیر مختلف نسبت ارتفاع ریزش  $(H_c/y)$  نسبت عمق آب‌شستگی  $(d_s/y)$  افزایش می‌یابد. که این روند برای هر سه مقدار عدد فرود اتفاق می‌افتد. دلیل آن را می‌توان به افزایش سرعت جریان و در نتیجه افزایش انرژی جنبشی جت و

افزایش  $(d_{50}/y)$  مقادیر  $(d_s/y)$  به سمت یک عدد ثابت میل می‌کند. این نسبت در مقادیر  $d_{50}/y$  بیشتر از ۰/۱ اتفاق می‌افتد. این نسبت می‌تواند به‌عنوان شاخص مصالح حفاظت بستر در محل جت ریزشی مورد استفاده قرار گیرد. نمودار عمق آب‌شستگی تابع قطر نسبی ذرات به‌صورت نمایی می‌باشد.

### نتیجه‌گیری

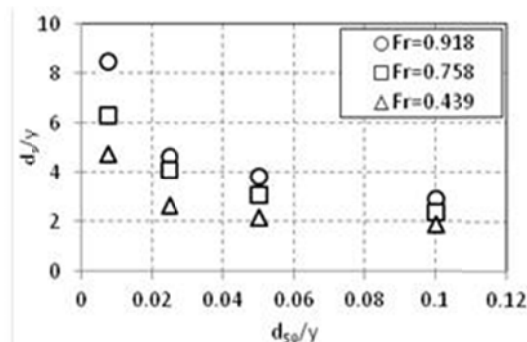
درخصوص آب‌شستگی جت ریزشی تحقیقات آزمایشگاهی زیادی صورت گرفته است. در این تحقیقات، توجه محققان به حصول حداکثر عمق آب‌شستگی در فرآیند فرسایش پایین دست جت ریزشی معطوف بوده است. تأثیر عوامل مختلف شامل خصوصیات رسوب و مشخصه‌های جریان در قالب عددهای بدون بعد ارائه گردیده است. در تحقیق حاضر، فرآیند آب‌شستگی به‌صورت عددی با استفاده از نرم‌افزار SSIM صورت گرفته است. برای نیل به این هدف، ابتدا واسنجی مدل عددی با استفاده از نتایج آزمایشگاهی صورت گرفت. مدل آشفتگی مناسب مدل  $k-\epsilon$ ، زبری اعمال‌شده در مدل قطر متوسط مصالح و معادله انتقال بار بستر معادله انگلوند-هانسن تعیین گردید. سپس حساسیت سنجی نسبت به ابعاد مش در مدل عددی صورت گرفت و مشخص گردید که یک شبکه  $35 \times 5 \times 30$  سلولی می‌تواند نتایج قابل قبولی را ارائه نماید.

در ادامه، با استفاده از تجزیه و تحلیل ابعادی، عوامل بدون بعد تعیین گردیدند و نتایج عددی در قالب پارامترهای بدون بعد تحلیل شدند. در تحلیل‌های صورت‌گرفته، عمق فرسایش نسبی که نسبت عمق فرسایش بستر به عمق جریان در بالادست محل ریزش جریان می‌باشد، در تابعیت از پارامترهای مختلف دیگر شامل عدد فرود، عدد فرود مصالح، ارتفاع نسبی ریزش و قطر نسبی مصالح بررسی گردید. و نتایج زیر به‌دست آمد.

همان‌طور که در این شکل مشاهده می‌شود با افزایش قطر مصالح  $(d_{50}/y)$  نسبت عمق آب‌شستگی  $(d_s/y)$  نسبت ارتفاع ریزش  $(H_c/y)$  برای مقادیر مختلف نسبت افزایش می‌یابد. که این روند برای هر سه مقدار عدد فرود اتفاق می‌افتد. با افزایش ارتفاع ریزش، سرعت جت برخوردی با بستر نیز افزایش می‌یابد و سبب افزایش عمق نسبی آب‌شستگی می‌گردد.

### تأثیر پارامتر بی‌بعد نسبت قطر مشخصه ذرات بر نسبت عمق آب‌شستگی

در شکل (۱۲) عمق آب‌شستگی نسبی برحسب قطر نسبی مصالح نشان داده شده است. همان‌طور که در شکل مشاهده می‌شود با افزایش نسبت قطر مصالح برای مقادیر مختلف اعداد فرود نسبت عمق آب‌شستگی کاهش می‌یابد که این روند برای هر سه مقدار  $(H_c/y)$  اتفاق می‌افتد. علت آن را می‌توان افزایش مؤلفه‌های مقاومت ذره در برابر حرکت از جمله وزن دانه رسوب نام برد. در عدد فرود و ارتفاع ریزش ثابت نیروی بیشتری برای جابه‌جایی ذرات نیاز می‌باشد.



شکل ۱۲. تأثیر نسبت قطر مصالح بر نسبت عمق آب‌شستگی برای اعداد فرود متفاوت و ارتفاع نسبی ریزش ثابت  $H_c/y=5.5$

موضوع دیگر این‌که هرچه نسبت  $(d_{50}/y)$  بیشتر باشد تأثیر عدد فرود جریان بر عمق آب‌شستگی کاهش می‌یابد و به‌نظر می‌رسد به سمت یک مقدار ثابت میل می‌کند. هم‌چنین برای مقادیر ثابت عدد فرود با

قطر متوسطی در حدود ۱۰ درصد عمق جریان، تحت شرایط مختلف جریان در بالادست، عمق آبشستگی به ۲ برابر عمق جریان محدود می‌گردد. این نتیجه می‌تواند در انتخاب مصالح پوشش پایین دست جت ریزی برای به حداقل رسانیدن عمق فرسایش، مؤثر باشد.

نتایجی که می‌توان از مدل عددی واسنجی شده به دست آورد بسیار فراتر از نتایجی است که در آزمایشگاه حاصل می‌گردد. در آزمایشگاه، به سبب محدودیت‌هایی از جمله تأمین دبی، فضای آزمایشگاهی و همچنین هزینه‌های مربوط به آزمایش‌ها، دامنه تغییرات پارامترها زیاد نمی‌باشند. لیکن در مدل عددی واسنجی شده، می‌توان اطلاعات بیشتری را پردازش نمود و نتایج بیشتری به دست آورد. در مواردی نیز می‌توان بسیاری از پارامترها را که در آزمایشگاه اندازه‌گیری نشده‌اند را از نتایج مدل عددی به دست آورد. بنابراین مدل‌های عددی می‌توانند ابزاری باشند برای تعمیم داده‌های آزمایشگاهی و استخراج مؤلفه‌های مختلف جریان به دلیل محدودیت‌های مختلف که در آزمایشگاه قابل حصول نمی‌باشد.

عمق آبشستگی نسبی تابع خطی از عدد فرود مصالح بستر می‌باشد، به صورتی که تغییرات عدد فرود مصالح بستر در محدوده ۲ تا ۱۰، منجر به افزایش عمق فرسایش ۱ تا ۳ برابر عمق جریان برای محدوده تغییرات ارتفاع نسبی ۵ تا ۱۰ می‌گردد.

یک رابطه خطی با شیب مثبت بین عمق فرسایش نسبی و ارتفاع ریزش نسبی وجود دارد به صورتی که با افزایش ارتفاع نسبی  $4/5$  تا  $9/5$  میزان فرسایش از  $2/5$  تا ۹ برابر عمق جریان در محدوده‌های قطر نسبی ذرات بین  $0/700$  تا  $0/1$  متغیر می‌باشد.

یک رابطه‌نمایی کاهشی بین عمق نسبی فرسایش و قطر نسبی مصالح بستر برای شرایط مختلف جریان وجود دارد به صورتی که مقدار فرسایش از ۸ تا ۲ برابر عمق جریان در کانال را برای مقادیر مختلف قطر نسبی ذرات از  $0/01$  تا  $1/0$  در شرایط مختلف جریان در بالادست برای عدد فرود متغیر بین  $0/4$  و  $0/9$  را نشان می‌دهد. لازم به ذکر است که با افزایش قطر نسبی ذرات، ضمن کاهش عمق آبشستگی، وابستگی عمق آبشستگی به شرایط هیدرولیکی جریان بالادست کم می‌گردد به صورتی که برای مصالحی با

## مراجع

1. Stein, O.R. and Julien, P.Y., "Sediment concentration below free overfall", *Journal of Hydraulic Engineering*, Vol. 9, pp. 622-624, (1994).
2. Abida, H. and Townsend, R.D., "Local scour downstream of box-culvert outlets", *Journal of Irrigation and Drainage Engineering*, Vol. 3, pp. 425-440, (1991).
3. Westrich, B., Kobus, H., "Erosion of uniform sand bed by continuous and pulsating jet", Proceedings of IAHR congress, No. 1(A13), Istanbul, (1973).
4. Martins, R., "Contribution to the knowledge on scour action of free jets on rocky river beds", 11th Inter. Comm. on large dams, IIQ41. R44, (1973).
5. Jaeger, C. h., "Uber die ahnlichkeit bei flussbaulichen modellversuchen", *Wasserwirtschaft und wassertechnik*, No. 23/27, (1973).
6. Ghodsian, M., Melville, B. and Tajkarimi, D., "Local scour due to free overfall jets", *Journal of*

- Water Management*, Vol. 4, pp. 253-260, (2006).
۷. محبوبی، ا.، "اثر قطر مصالح بر میزان آب‌شستگی ناشی از جت های ریزشی آزاد"، پایان‌نامه کارشناسی ارشد، دانشگاه علم و صنعت، (۱۳۷۵).
8. Mercier, F., Bonelli, S., Anselmet, F. and Pinettes, P., "On the numerical modelling of the Jet Erosion Test", *6th International Conference on Scour and Erosion*, Paris, (2012).
9. Wanyun, X., Wenxin, H. and Zhongdong, Q., "Numerical simulation of sediment erosion by submerged plane turbulent jets", *9th International Conference On Hydrodynamics*, shanghai, (2010).
10. Olsen, N.R.B., "SSIIM User's Manual for Version 1 and 2", (2011).
۱۱. سلامتیان، س.ا.، "بررسی نرخ آب‌شستگی پایین‌دست جت‌های ریزشی در مصالح یکنواخت"، پایان‌نامه کارشناسی ارشد، دانشگاه تربیت مدرس، تهران، (۱۳۸۵).
12. Chen, J.Y., Ming, Y. and Hong, Y.M., "Characteristics of check dam scour hole by free over-fall flow", *Journal of the Chinese Institute of Engineers*, Vol. 6, pp. 673-680, (2001).
13. Van Rijn, L.C., "Mathematical modeling of morphological processes in the case of suspended sediment transport", *Delft Hydr, Communication*, No. 382, (1987).
14. Engelund, F. and Hansen, E., "A Monograph on Sediment Transport in Alluvial Streams", *Teknisk Forlag, Copenhagen, Denmark*, (1972).
15. Einstein, H.A. and Chien, N., "Effects of Heavy Sediment Concentration near the Bed on Velocity and Sediment Distribution", *U.S. Army Corps of Engineers, Missouri River Division Sediment Series No. 8*, (1955).
16. Wu, W., Rodi, W. and wenka, T., "3D Numerical Modeling of Flow and Sediment Transport in Open Channels", *J. Hydr. Engrg*, ASCE Vol. 1, pp. 4-15, (2000).